Sachverständiger für Photovoltaik
Mathias Röper, M. Eng.

BLENDGUTACHTEN

PVA EHRA-LESSIEN

VERSION 1.0

Bearbeitet:

Sachverständiger für Photovoltaik
Mathias Röper, M. Eng.

Achter de Schün 1
D-25436 Moorrege
+49 4122 509100
mathias.roeper@sonnwinn.de
www.sonnwinn.de

Moorrege, 12.07.2025

Revisionstabelle

Version	Änderung	Datum	Name
1.0	Erste Fassung	12.07.2025	Mathias Röper

Das Gutachten ist nur in seiner aktuellen Fassung gültig.

Inhaltsverzeichnis

1 Einleitung 3
1.1 Fragestellung 3
1.2 Haftungsausschluss 3
1.3 Datengrundlage 3
1.4 Übersicht der angewendeten Methodiken 4
2 Anlagenbeschreibung 5
3 Zusammenfassung der Ergebnisse 6
4 Grundlagen 7
4.1 Blendwirkung von Modulen 7
4.2 Berechnung von Reflexionen 9
4.3 Verwendete Software, Annahmen und Limitationen 9
5 Blendwirkungen auf Verkehrswege 10
5.1 Auswertungsmethodik 10
5.2 Relevante Verkehrswege 12
5.3 Observationspunkte 13
5.4 Ergebnisse 14
6 Diskussion der Ergebnisse 15
7 Literaturverzeichnis 16
Anhang A: Annahmen und Limitationen von SGHAT 17

1 Einleitung

Herr Mathias Röper, Sachverständiger für Photovoltaik, wurde beauftragt, die möglichen Blendwirkungen folgender Photovoltaikanlage (PVA) zu untersuchen und zu bewerten:

Tabelle 1: Projektübersicht

Auftraggeber	Assetseeds Germany GmbH Leipziger Platz 15 10117 Berlin
Projektname	PVA Ehra-Lessien
Adresse PVA	38468 Ehra-Lessien
Stand der Projektierung	☐ Bestand | ☐ Im Bau | ☒ Planung

1.1 Fragestellung

Es stellt sich die Frage, ob die Solarmodule der geplanten Photovoltaikanlage Sonnenlicht so reflektieren, dass erhebliche Belästigungen bzw. Beeinträchtigungen für folgende Immissionsorte auftreten können:

- Straßenverkehr (B 248)

Dieses Gutachten dient der Beantwortung dieser Frage und stellt dar, ob und mit welcher Häufigkeit belästigende bzw. beeinträchtigende Blendwirkungen auftreten können. Zudem werden die Ergebnisse bewertet.

1.2 Haftungsausschluss

Dieser Bericht wurde ausschließlich für den Gebrauch des Auftraggebers und in dessen Auftrag erstellt. Die Berechnungen und Auswertungen erfolgten nach bestem Wissen und Gewissen. Trotz sorgfältiger Durchführung können Fehler oder Irrtümer nicht vollständig ausgeschlossen werden. Für Folgeschäden, die aus der Nutzung des Gutachtens resultieren, wird keine Haftung übernommen. Die Haftung für Schadensersatz bei grober Fahrlässigkeit oder Vorsatz bleibt unberührt. Bei Weitergabe des Gutachtens an Dritte darf dieses weder verändert noch bearbeitet werden. Eine Haftung gegenüber Dritten, die sich den Inhalt dieses Gutachtens zunutze machen, ist grundsätzlich ausgeschlossen.

1.3 Datengrundlage

Tabelle 2: Verwendete Daten/Informationen und ihre Quellen

Information/Daten	Quelle
Angaben zur geplanten PVA	Auftraggeber
Umliegende Vegetation	Google Earth Pro, OpenStreetMap
Umliegende Bebauung	
Höhendaten (DGM1)	Landesamt für Geoinformation und Landesvermessung Niedersachsen

1.4 Übersicht der angewendeten Methodiken

Die Auswertung der Blendwirkungen auf die Immissionsorte wurde entsprechend folgender Tabelle durchgeführt.

Tabelle 3: Methodiken

Immissionsort	Methodik
Verkehrswege	Eigene Auswertungsmethodik (siehe Kapitel 5)

2 Anlagenbeschreibung

Tabelle 4: Relevante Anlagenparameter

Parameter	Angabe/Wert
Geokoordinaten (Breite, Länge)	52.551647,10.782643
Art der Anlage	Freiflächenanlage
Modultyp	Si-kristallines Modul mit Antireflexbeschichtung
Aufständerung	Fest aufgeständert
PV-Fläche	20,7 ha
Nennleistung (DC)	-
Modulausrichtung (Azimut)	184,4° Süd (Norden = 0°)
Modulneigung	18°
Höhe Modulunterkante	0,8 m
Höhe Moduloberkante	3,1 m

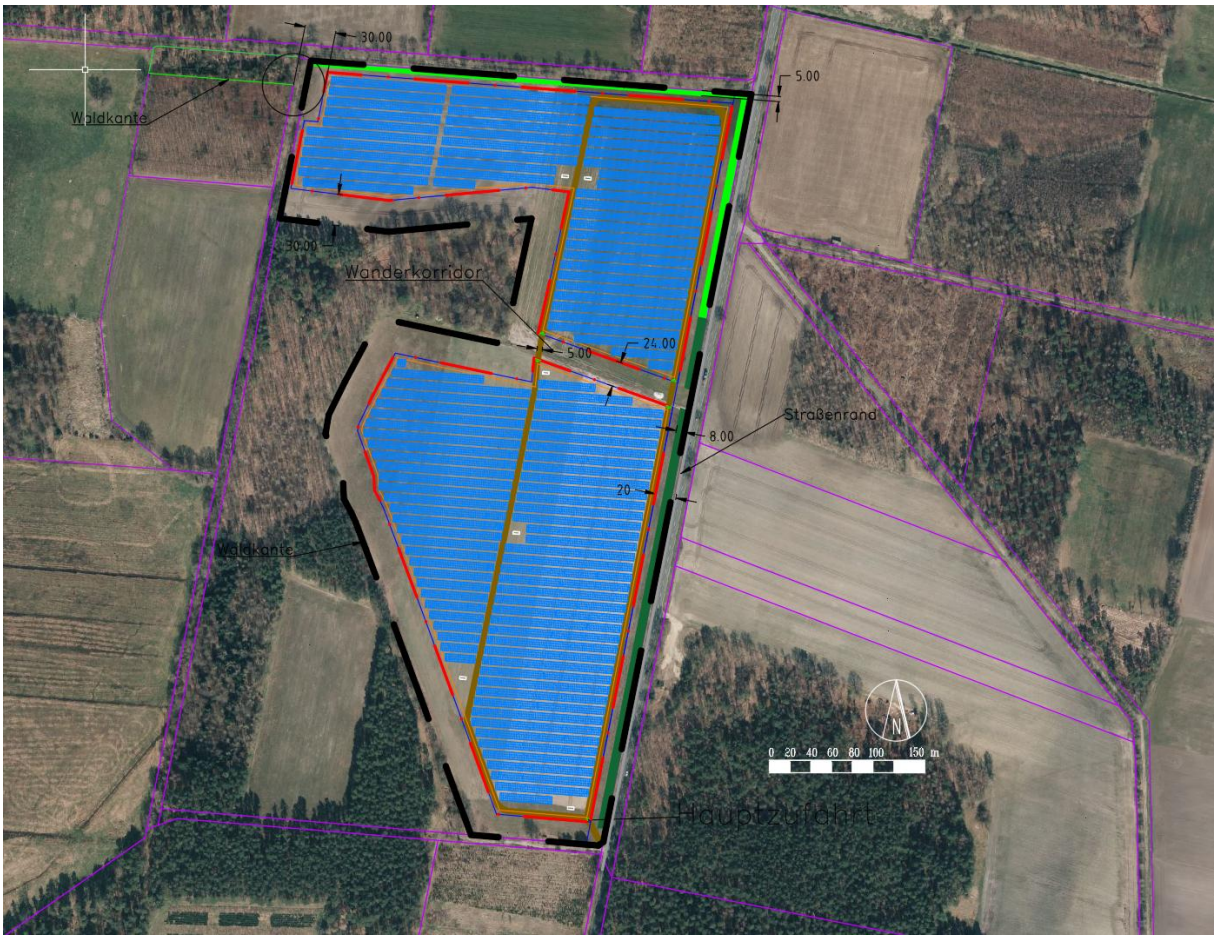

Abbildung 1: Belegungsplan

3 Zusammenfassung der Ergebnisse

Die Auswertung hat ergeben, dass von der geplanten PVA Ehra-Lessien keine Reflexionen in das relevante Sichtfeld von Verkehrsteilnehmern auf der angrenzenden B 248 emittiert werden. Somit bleibt das erweiterte Sichtfeld von ±50° stets blendfrei. Tatsächlich ist sogar von einem blendfreien Sichtfeld von ±75° auszugehen. Beeinträchtigungen für den Straßenverkehr sind daher nicht zu erwarten.

4 Grundlagen

4.1 Blendwirkung von Modulen

Ein PV-Modul setzt sich aus zahlreichen Solarzellen zusammen, die Sonnenlicht in elektrische Energie umwandeln. Um Stabilität zu gewährleisten und vor Witterungseinflüssen zu schützen, sind die Solarzellen normalerweise hinter einer Glasscheibe (Modulglas) angebracht. Das Modulglas ist maßgeblich für mögliche Blendwirkungen verantwortlich. Da die erzeugte elektrische Energie in direktem Verhältnis zur Intensität der Sonneneinstrahlung auf die Solarzellen steht, bemühen sich Modulhersteller, Reflexionen am Modulglas zu reduzieren – je weniger Reflexionen, desto höher der Ertrag. Daher verfügt das Modulglas typischerweise über eine spezielle Oberflächentexturierung und eine sogenannte Antireflexschicht. Beide Elemente gewährleisten, dass möglichst viel Licht auf die Solarzellen trifft und Reflexionsverluste minimiert werden [1].

Daher reflektieren Solarmodule bei geringen Einfallswinkeln θ (siehe Abbildung 2) lediglich einen kleinen Teil des Sonnenlichts (etwa 5 %). Studien zeigen jedoch, dass trotz Texturierung und Antireflexbeschichtung der Anteil des reflektierten Sonnenlichts mit ansteigendem Einfallswinkel exponentiell zunimmt (siehe Abbildung 3).

Da bereits Reflexionen von weniger als 1 % des Sonnenlichts zu einer Absolutblendung führen können [2], müssen demnach Einfallswinkel berücksichtigt werden.

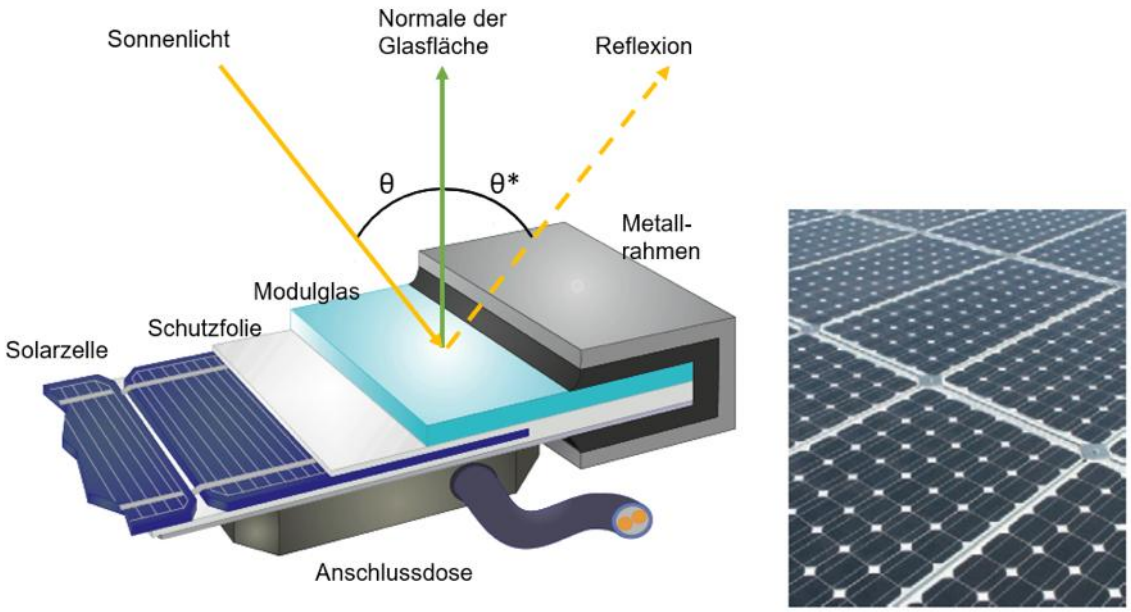

Abbildung 2: Aufbau eines PV-Moduls und Darstellung des Reflexionsgesetzes „Einfallswinkel = Ausfallswinkel“ - Quelle: [3] (modifiziert)

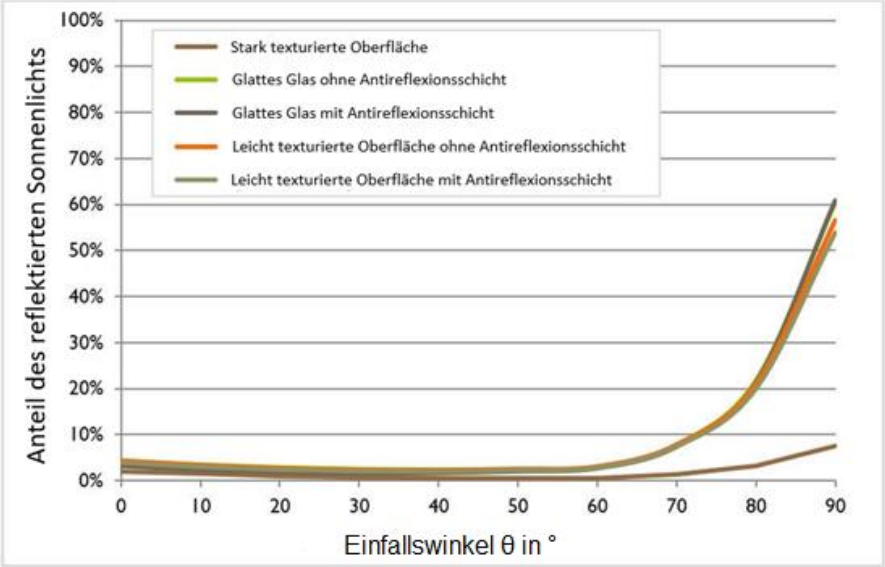

Abbildung 3: Anteil des reflektierten Sonnenlichts in Abhängigkeit zum Einfallswinkel, dargestellt für unterschiedliche Modulglastypen - Quelle: [4], modifiziert

Die Oberflächentexturierung des Modulglases bewirkt eine weniger intensive, aber diffuse (gestreute) Reflexion des Sonnenlichts, wodurch der Immissionsort der Reflexion vergrößert wird. Daher sind die Intensitäten von Reflexionen an Solarmodulen nicht mit denen an beispielsweise glatten Fensterscheiben vergleichbar, bei denen das Sonnenlicht gerichteter reflektiert wird. Neue PV-Module verfügen in der Regel über eine Antireflexbeschichtung und zumindest eine leicht texturierte Oberfläche. Dies gilt auch für den später verwendeten Modultyp.

Abbildung 4: Veranschaulichung der Reflexion an einem texturierten Modulglas (mitte-links) und einem glatten Modulglas (mitte-rechts) - Quelle Aufnahme: Fraunhofer-Institut für Solare Energiesysteme ISE

4.2 Berechnung von Reflexionen

Reflexionen an PV-Modulen können geometrisch hergeleitet werden. Hierzu werden die Module, die relevanten Immissionsorte und die Sonne in einem gemeinsamen Koordinatensystem modelliert [2]. Der standortbezogene Sonnenverlauf kann für jeden Zeitpunkt im Jahr auf Basis mathematischer Funktionen ermittelt werden [5]. Durch Winkelbeziehungen und Strahlungsgesetze lässt sich nachvollziehen, wo und wann Blendwirkungen auftreten. Die Berücksichtigung von modulglasspezifischen Streuwinkeln und Reflexionskoeffizienten ermöglicht eine noch präzisere Betrachtung [4].

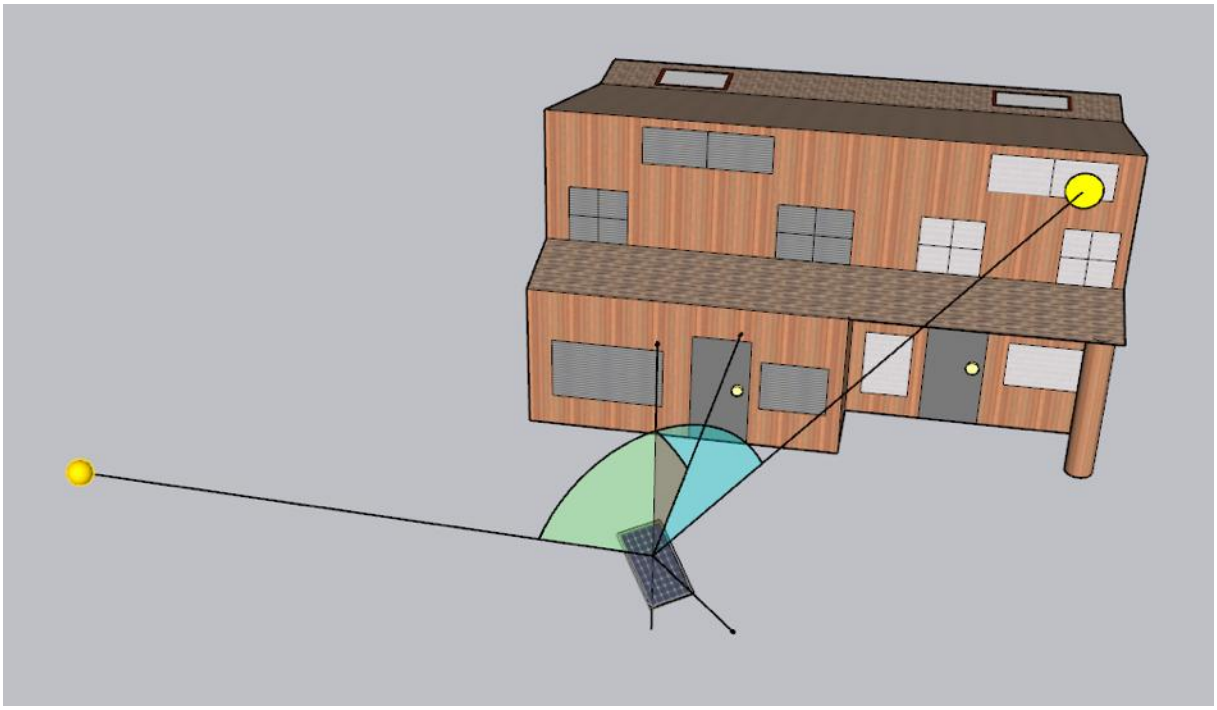

Abbildung 5: Veranschaulichung der geometrischen Herleitung einer Reflexion - Quelle: Eigene Abbildung

4.3 Verwendete Software, Annahmen und Limitationen

Für die Berechnungen der Reflexionen/Blendwirkungen wurde die Software ForgeSolar verwendet. Dabei wurden die Reflexionen/Blendwirkungen der PVA mit einer zeitlichen Auflösung von einer Minute für ein ganzes Jahr berechnet. Die Software basiert auf dem „Solar Glare Hazard Analysis Tool“ (SGHAT) der Sandia National Laboratories. Im Rahmen der Simulation werden die Höhendaten der PV-Fläche sowie der Immissionsorte berücksichtigt. Die Simulation basiert auf der Annahme eines immer klaren Himmels. Demnach wird ein abstrakter Worst-Case betrachtet.

Obwohl ForgeSolar zu den etabliertesten und professionellsten Programmen gehört, um PVA-bedingte Blendwirkungen zu berechnen, kann die Realität nur vereinfacht dargestellt werden. Somit werden die Generatorfelder als Ebenen zusammengefasst, abweichende Modulausrichtungen im Feld (z. B. Modultische, die aufgrund der Topografie eine Neigung entlang der Tischachse besitzen und somit die effektive Ausrichtung der Module beeinflussen) teilweise verloren gehen. Die Limitationen der Software werden nach Möglichkeit durch zusätzliche Berechnungen kompensiert und die Ergebnisse stets validiert. Dennoch können Abweichungen von der späteren Realität nicht ausgeschlossen werden.

Eine weiterführende Auflistung der Annahmen und Einschränkungen bzgl. der Simulation befindet sich in Anhang A.

5 Blendwirkungen auf Verkehrswege

5.1 Auswertungsmethodik

Vorgaben zur Bewertung der Blendwirkungen von Photovoltaikanlagen auf Verkehrswege (Straßen und Bahnstrecken) sind in keiner Norm, Leitlinie oder sonstigen Regelwerken definiert bzw. standardisiert und werden auch im LAI-Leitfaden nicht thematisiert. Die Bewertung der Blendwirkungen auf die umgebenden Verkehrswege erfolgte daher auf der Grundlage wissenschaftlicher Erkenntnisse und etablierter Verfahren, die im Folgenden dargestellt werden.

Zur Beurteilung der Blendwirkungen durch Photovoltaikanlagen auf Verkehrswege ist es gängige Praxis, ein oder mehrere Sichtfelder von Fahrzeugführern (Kraftfahrzeug- und Lokführer) zu definieren, welche sich dann durch ihre Relevanz bezüglich Blendwirkungen unterscheiden. Anschließend wird mittels Simulation geprüft, ob Reflexionen in diesen Sichtfeldern auftreten. Es wird dabei angenommen, dass die Blickrichtung eines Fahrzeugführers mit der Fahrtrichtung übereinstimmt [6].

Es wird zwischen folgenden Sichtfeldern bzw. Sichtfeldgrenzen unterschieden (siehe Abbildung 6 für eine grafische Darstellung):

- **Erheblichkeitsgrenze**: In Anlehnung an [6] und [7] wird eine Erheblichkeitsgrenze von ± 30°, bezogen auf die Fahrtrichtung, definiert. Finden Reflexionen außerhalb dieses Sichtfeldes statt, so führen diese i. d. R. zu keinen erheblichen Beeinträchtigungen.
- **Beeinträchtigungsgrenze**: In Anlehnung an [8] wird zudem eine Beeinträchtigungsgrenze von ± 50°, bezogen auf die Fahrtrichtung, definiert. Finden Reflexionen außerhalb dieses Sichtfeldes statt, so führen diese i. d. R. zu keinen Beeinträchtigungen. Demnach wird diesen Reflexionen im Rahmen des Gutachtens bei normaler Fahrt keine Blendwirkung (im Sinne einer nennenswerten physiologischen Beeinträchtigung) zugeschrieben.
- **Ausnahme Bahnstrecken**: Für Lokführer wird eine gemeinsame Erheblichkeits- und Beeinträchtigungsgrenze von ± 30° angesetzt.

Für die Analyse der Blendwirkungen auf den Straßenverkehr genügt es, lediglich LKW-Fahrer zu betrachten, da diese höher sitzen als PKW-Fahrer - und höher gelegene Immissionsorte generell stärkeren Blendwirkungen ausgesetzt sind (somit der Worst-Case betrachtet).

Des Weiteren gelten PVA-bedingte Blendwirkungen selbst innerhalb der Erheblichkeitsgrenze als vernachlässigbar (irrelevant), wenn die verursachenden Reflexionen mit einem Differenzwinkel ≤ 10° zur direkten Sonneneinstrahlung auftreten und gleichzeitig der Höhenwinkel der Sonne ≤ 5° beträgt. Wenn beide Kriterien erfüllt sind, überlagert die Sonne die Blendwirkung der PVA aus der gleichen Richtung (definiert in Anlehnung an [2]) und kann in der Regel nicht mehr durch eine Blende abgeschirmt werden (Annahme). Die Reflexionen der PVA stellen dann keine zusätzliche Beeinträchtigung dar.

In der Simulation werden keine Hindernisse wie Vegetationsstreifen oder Gebäude berücksichtigt. In der Diskussion (Kapitel 6) werden Hindernisse jedoch ggf. berücksichtigt.

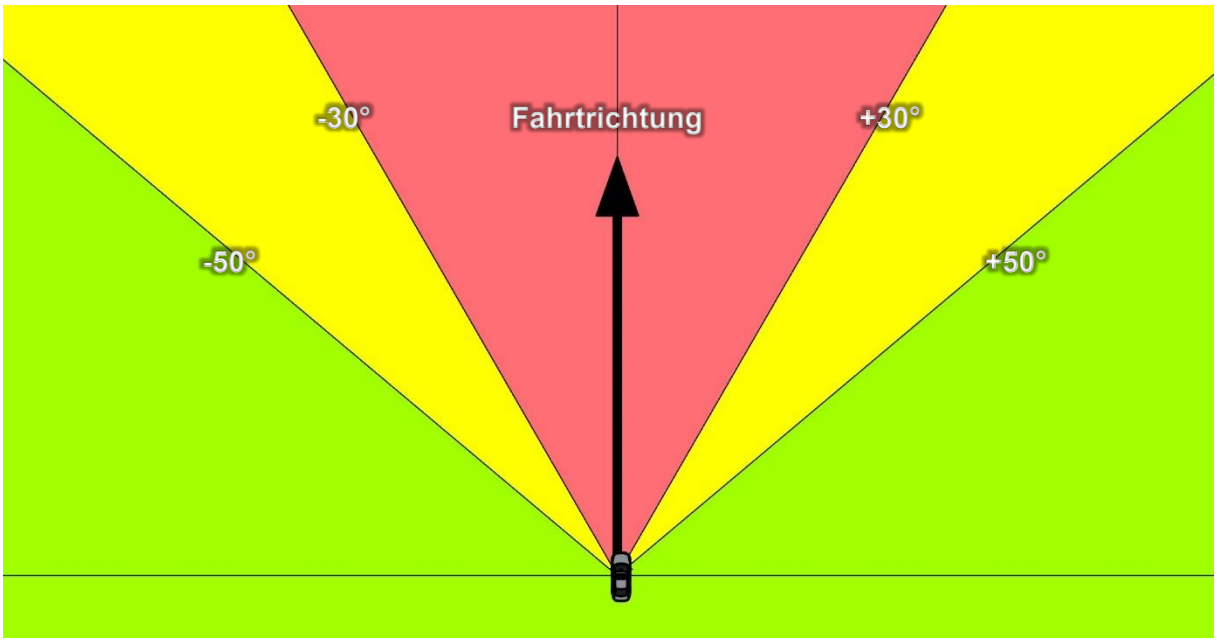

Abbildung 6: Definierte Sichtfelder eines Fahrzeugführers – Quelle: Eigene Abbildung

Die folgenden Abbildungen zeigen die geschätzten Augenhöhen der Verkehrsteilnehmer. Diese Angaben sind im Rahmen der Simulation relevant.

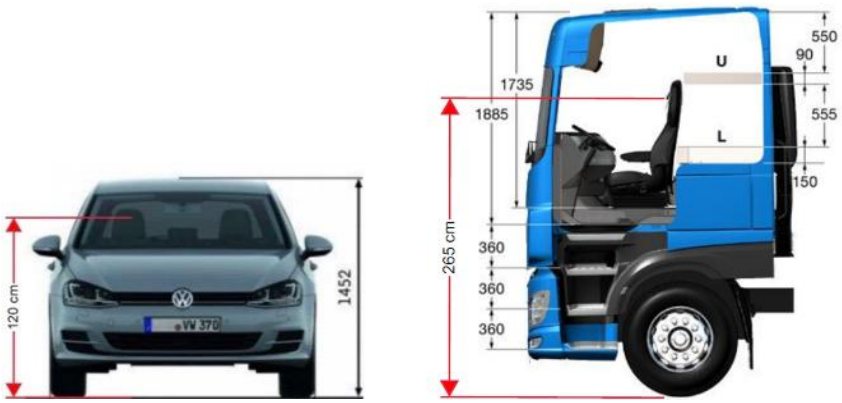

Abbildung 7: Augenhöhe der Straßenverkehrsteilnehmer – Quelle: Volkswagen AG (modifiziert), BTS GmbH & Co. KG (modifiziert)

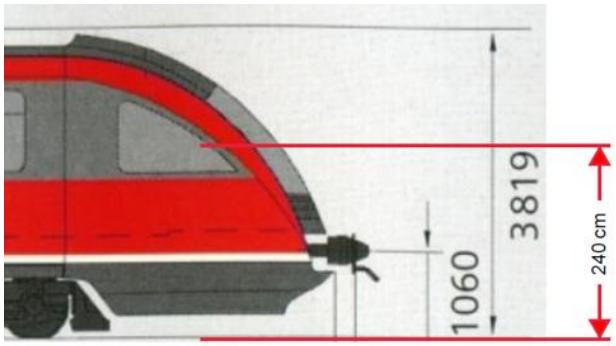

Abbildung 8: Augenhöhe von Lokführern – Quelle: www.nahverkehr-franken.de (modifiziert)

5.2 Relevante Verkehrswege

Entsprechend des Auftrags wurden die möglichen Blendwirkungen auf die östlich an die PVA angrenzende Bundesstraße B 248 untersucht. Im Folgenden wird die B 248 als relevanter Verkehrsweg bezeichnet.

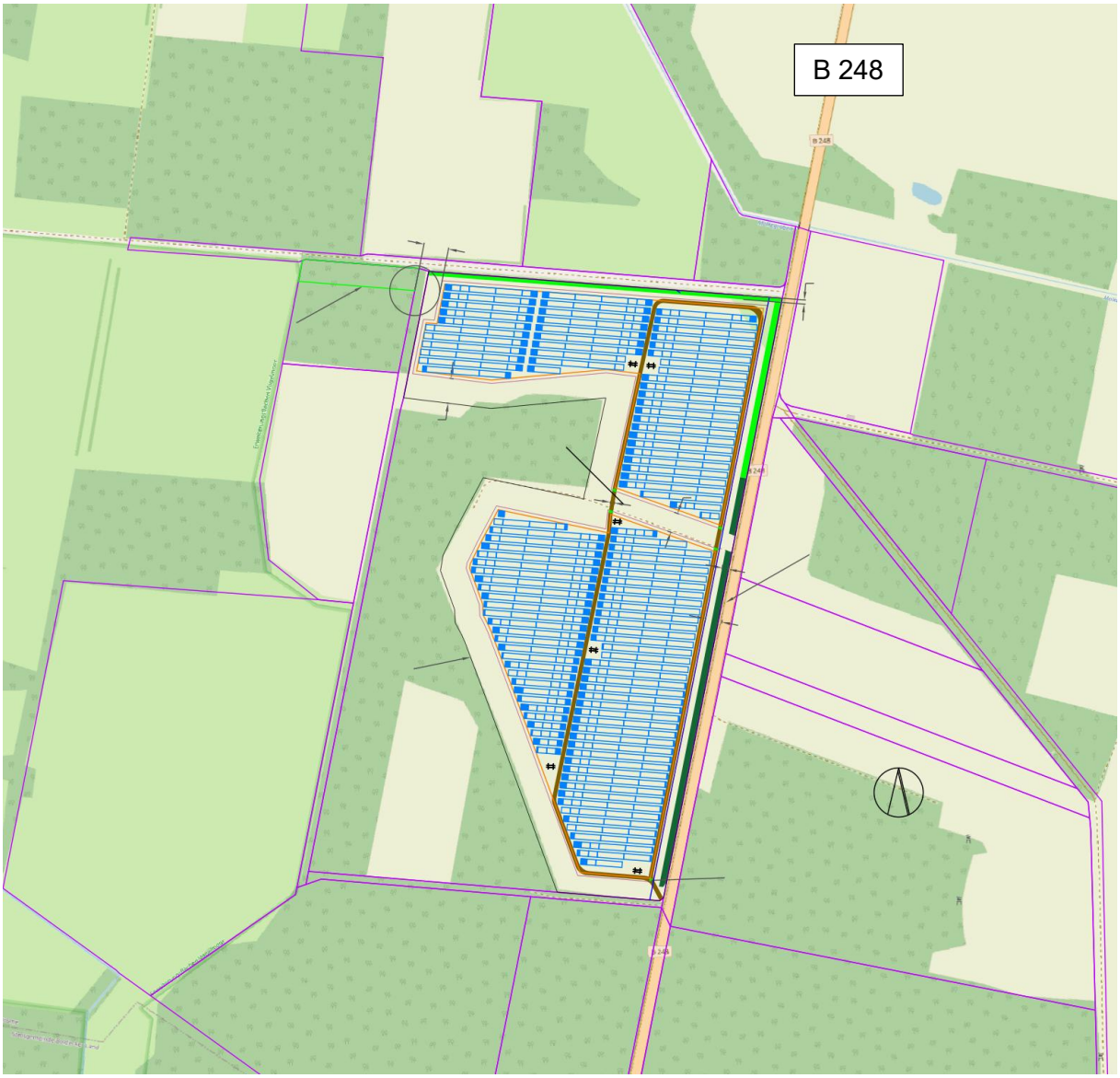

Abbildung 9: Positionen der als relevant eingestuften Verkehrswege - Quelle Karte: OpenStreetMap

5.3 Observationspunkte

Zur Bewertung der Blendwirkungen auf die relevanten Verkehrswege wurden spezifische „Observationspunkte“ (OP) definiert, die in der Simulation als Detektionspunkte für auftreffende Reflexionen dienen.

Insgesamt wurden 5 OP zur Analyse der Blendwirkungen auf die Verkehrswege festgelegt:

- OP S1 bis S5 für den Straßenverkehr auf der B 248.

Die OP Sx sind in einer Höhe von 2,65 m über dem Straßenniveau angebracht, entsprechend der Augenhöhe eines LKW-Fahrers.

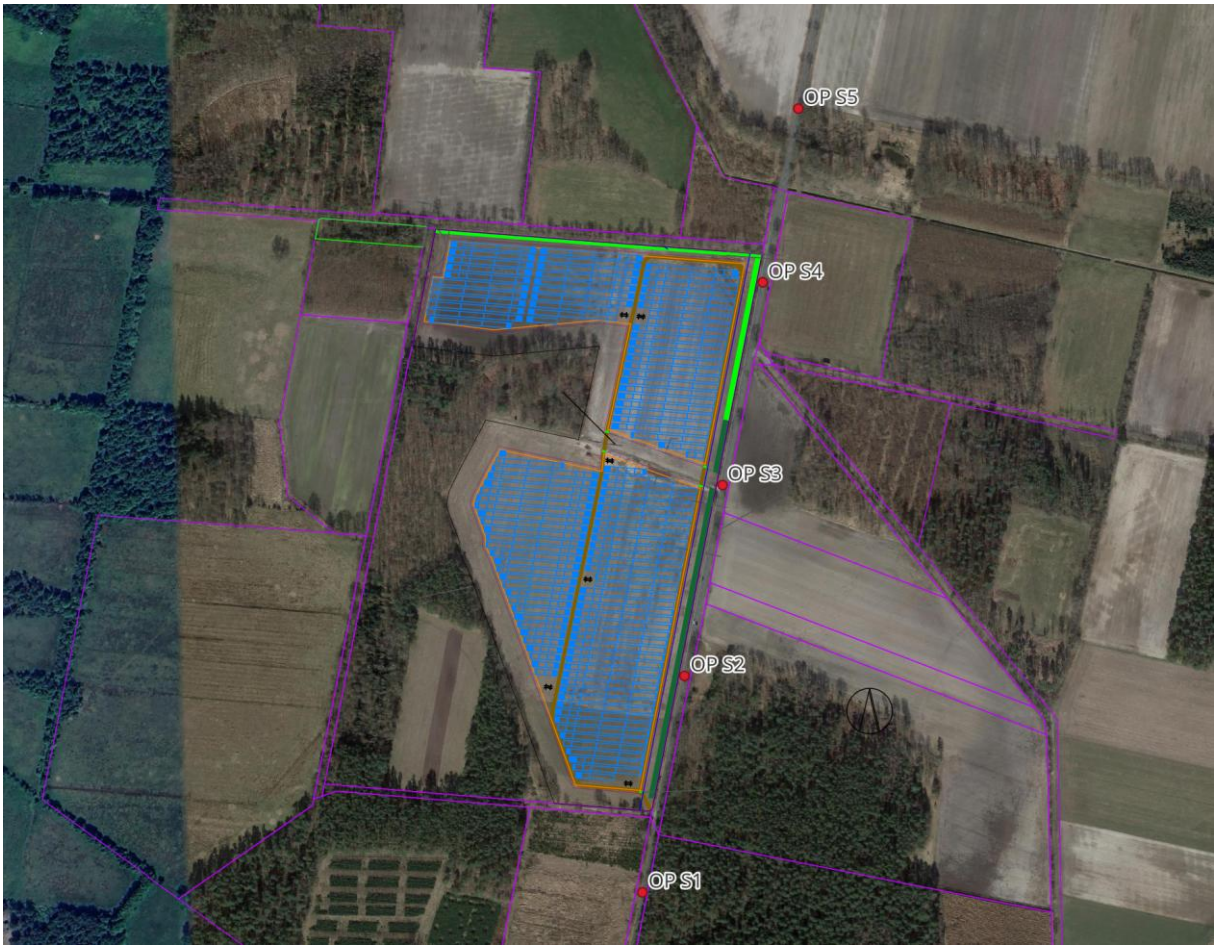

Abbildung 10: Positionen der OP auf den Verkehrswegen - Quelle Satellitenbild: Google Earth Pro

5.4 Ergebnisse

Tabelle 5: Übersicht der Simulationsergebnisse für die Observationspunkte auf den Verkehrswegen

Verkehrs-weg	OP	Fahrt-richtung	Min. Winkel zwischen Fahrtrichtung und Blendquelle (ca.)	Werden die Blendwirkungen innerhalb der Beeinträchtigungs-grenze vollständig von der Sonne überlagert?	Anmerkung
B 248	S1	Norden	-	-	Keine Reflexionen
		Süden	-	-	
	S2	Norden	75°	-	-
		Süden	88°	-	-
	S3	Norden	75°	-	-
		Süden	88°	-	-
	S4	Norden	75°	-	-
		Süden	88°	-	-
	S5	Norden	-	-	Keine Reflexionen
		Süden	-	-	
LEGENDE					
Relevante Blendwirkungen innerhalb der Erheblichkeitsgrenze					
Relevante Blendwirkungen innerhalb der Beeinträchtigungsgrenze (aber außerhalb der Erheblichkeitsgrenze)					
Relevante Blendwirkungen außerhalb der Beeinträchtigungsgrenze / keine (relevanten) Reflexionen					

6 Diskussion der Ergebnisse

Die Auswertung hat ergeben, dass von der geplanten PVA Ehra-Lessien keine Reflexionen in das relevante Sichtfeld von Verkehrsteilnehmern auf der angrenzenden B 248 emittiert werden. Somit bleibt das erweiterte Sichtfeld von ±50° stets blendfrei. Tatsächlich ist sogar von einem blendfreien Sichtfeld von ±75° auszugehen. Beeinträchtigungen für den Straßenverkehr sind daher nicht zu erwarten.

7 Literaturverzeichnis

[1] K. Mertens, *Photovoltaik: Lehrbuch zu Grundlagen, Technologie und Praxis*, 5. Aufl. Carl Hanser Verlag München, 2020.

[2] Bund/Länder-Arbeitsgemeinschaft für Immissionsschutz (LAI), *Hinweise zur Messung, Beurteilung und Minderung von Lichtimmissionen (Leitfaden)*. 2012. [Online]. Verfügbar unter: https://www.lai-immissionsschutz.de/documents/lichthinweise-2015-11-03mit-formelkorrektur_aus_03_2018_1520588339.pdf

[3] Volker Quaschning, *Regenerative Energiesysteme: Technologie - Berechnung - Simulation*, 9. Aufl. Carl Hanser Verlag München, 2015.

[4] J. Yellowhair und C. K. Ho, „Assessment of Photovoltaic Surface Texturing on Transmittance Effects and Glint/Glare Impacts“, San Diego, California, USA: American Society of Mechanical Engineers, Juni 2015, S. V002T11A003. doi: 10.1115/ES2015-49481.

[5] J. A. Duffie und W. A. Beckman, „Solar Engineering of Thermal Processes“, Bd. 4, 2013.

[6] Österreichischer Verband für Elektrotechnik (OVE), „Blendung durch Photovoltaikanlagen - OVE-Richtlinie R 11-3“. 2016.

[7] R. Jurado-Piña und J. M. P. Mayora, „Methodology to Predict Driver Vision Impairment Situations Caused by Sun Glare“, *Transportation Research Record*, Bd. 2120, Nr. 1, S. 12–17, Jan. 2009, doi: 10.3141/2120-02.

[8] Jason A- Rogers, Clifford K. Ho, Andrew Mead, Angel Millan, Melissa Beben, und Gena Drechsler, „Evaluation of Glare as a Hazard for General Aviation Pilots on Final Approach“. 2015. Zugegriffen: 15. April 2021. [Online]. Verfügbar unter: https://www.faa.gov/data_research/research/med_humanfacs/oamtechreports/2010s/media/201512.pdf

Anhang A: Annahmen und Limitationen von SGHAT

U.S. DEPARTMENT OF ENERGY — Sandia National Laboratories

4. Assumptions and Limitations

Below is a list of assumptions and limitations of the models and methods used in SGHAT:

- The software currently only applies to flat reflective surfaces. For curved surfaces (e.g., focused mirrors such as parabolic troughs or dishes used in concentrating solar power systems), methods and models derived by Ho et al. (2011) [1] can be used and are currently being evaluated for implementation into future versions SGHAT.
- SGHAT does not rigorously represent the detailed geometry of a system; detailed features such as gaps between modules, variable height of the PV array, and support structures may impact actual glare results. However, we have validated our models against several systems, including a PV array causing glare to the air-traffic control tower at Manchester-Boston Regional Airport and several sites in Albuquerque, and the tool accurately predicted the occurrence and intensity of glare at different times and days of the year.
- SGHAT assumes that the PV array is aligned with a plane defined by the total heights of the coordinates outlined in the Google map. For more accuracy, the user should perform runs using minimum and maximum values for the vertex heights to bound the height of the plane containing the solar array. Doing so will expand the range of observed solar glare when compared to results using a single height value.
- SGHAT does not consider obstacles (either man-made or natural) between the observation points and the prescribed solar installation that may obstruct observed glare, such as trees, hills, buildings, etc.
- The variable direct normal irradiance (DNI) feature (if selected) scales the user-prescribed peak DNI using a typical clear-day irradiance profile. This profile has a lower DNI in the mornings and evenings and a maximum at solar noon. The scaling uses a clear-day irradiance profile based on a normalized time relative to sunrise, solar noon, and sunset, which are prescribed by a sun-position algorithm [2] and the latitude and longitude obtained from Google maps. The actual DNI on any given day can be affected by cloud cover, atmospheric attenuation, and other environmental factors.
- The ocular hazard predicted by the tool depends on a number of environmental, optical, and human factors, which can be uncertain. We provide input fields and typical ranges of values for these factors so that the user can vary these parameters to see if they have an impact on the results. The speed of SGHAT allows expedited sensitivity and parametric analyses.
- Single- and dual-axis tracking compute the panel normal vector based on the position of the sun once it is above the horizon. Dual-axis tracking does not place a limit on the angle of rotation, unless the sun is below the horizon. For single-axis tracking, a maximum angle of rotation can be applied to both the clockwise and counterclockwise directions.

5 | Page

Ausschnitt wurde dem SGHAT-Handbuch (Solar Glare Hazard Analysis Tool) entnommen. Das vollständige Handbuch kann unter folgendem Link gefunden werden:
https://forgesolar.com/static/docs/SGHAT3-GlareGauge_user_manual_v1.pdf